

1. まえがき

橋梁形式として多伊エケルバー梁は静定構造物であり、力のつり合い条件のみから、反力、断面力を算定することの出来る。いわゆる単部架に属するはり構造物であると考えられてきた。亦あるものが支梁の反力やはり上の任意点の断面力を知りたがうに於ける量だけの場合には、このように見方も成り立つであろう。しかし、ケルバー梁に於いて、その荷重に対する変形あるいはその自由振動性状、座屈性状などを解析する際には、すなわち、変形に於ける量をも考慮する必要がある場合には、上記の見方は必ずしも妥当なものであるとは思われない。

著者は橋梁形式その他の原因により、反力、曲げモーメント、せん断力、曲げ剛性、断面積などの諸要素のいずれかが不連続函数で表わされる構造物の解析に於いて、不連続要素に起因する式取扱いの繁雑を回避し得る一般的方法を得んとするものであるが、ここでは、ケルバー梁の座屈現象の解析に於いてこの方法を提示する。

2. 基礎方程式

一様な断面を持ち、両端部にそれぞれ大きさ  $P$  なる軸圧縮力を受ける直線はりの座屈は、周知の次式によって表わされる。

$$EI \frac{d^4 y}{dx^4} + P \frac{d^2 y}{dx^2} = 0 \tag{1}$$

ケルバー梁の座屈も基本的には式(1)によって表わされるが、解析の便利のため、式(1)を次のように変形する。はりの全長を  $l$  とし、 $\eta = x/l$  なる無次元変数を用いれば、式(1)は

$$\frac{d^4 y}{d\eta^4} + k^2 \frac{d^2 y}{d\eta^2} = 0 \tag{2}$$

ここで  $k^2 = \frac{Pl^2}{EI}$

いま、図-1に示すケルバー梁の場合には、式(2)は  $\eta = \eta_1, \eta_2$  なる点を除く全  $l$  の長、すなわち、ヒンジ点  $H$  を除く中間支梁  $B$  を除く全  $l$  の長に於いて成立する。

ヒンジ点  $H$  を除く中間支梁  $B$  は、これらの長に於いて、これを4点反力角およびせん断力が不連続となるので、はり上の他の長とは異なる特殊な長であると見なければならぬ。

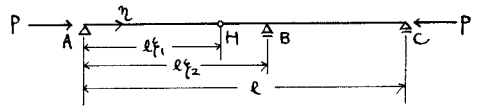


図-1

図-1のケルバー梁の座屈方程式

$$\frac{d^4 y}{d\eta^4} + k^2 \frac{d^2 y}{d\eta^2} = 0 \quad (\eta \neq \eta_1, \eta_2) \tag{3}$$

の解は次式の形に示されることとする。

$$y(\eta) = y_1(\eta) + y_2(\eta) \cdot u(\eta - \eta_1) + y_3(\eta) \cdot u(\eta - \eta_2) \tag{4}$$

ここで、函数  $u(\eta)$  は  $0 \leq \eta < \eta_1, \eta_1 < \eta < \eta_2, \eta_2 < \eta \leq l$  なる変域に於いて意味をもつものであるが、

函数  $y_1(\eta)$ ,  $y_2(\eta)$ ,  $y_3(\eta)$  は  $\eta$  の全二の変域に於いて定義されたとする。従って、 $u(\eta-\xi_1)$ ,  $u(\eta-\xi_2)$  は単位階段函数である。

式(4)と式(3)を代入して

$$\left( \frac{d^4 y_1}{d\eta^4} + k^2 \frac{d^2 y_1}{d\eta^2} \right) + \left( \frac{d^4 y_2}{d\eta^4} + k^2 \frac{d^2 y_2}{d\eta^2} \right) \cdot u(\eta-\xi_1) + \left( \frac{d^4 y_3}{d\eta^4} + k^2 \frac{d^2 y_3}{d\eta^2} \right) \cdot u(\eta-\xi_2) = 0 \quad (5)$$

これから、次の3式

$$\frac{d^4 y_1}{d\eta^4} + k^2 \frac{d^2 y_1}{d\eta^2} = 0 \quad (6.a), \quad \frac{d^4 y_2}{d\eta^4} + k^2 \frac{d^2 y_2}{d\eta^2} = 0 \quad (6.b), \quad \frac{d^4 y_3}{d\eta^4} + k^2 \frac{d^2 y_3}{d\eta^2} = 0 \quad (6.c)$$

が成立すると、明らかに式(5)は成立する。

3個の方程式(6.a), (6.b), (6.c)の解式に含まれる定数と4個の境界条件は次の12個の条件により決定される。すなわち

$$\eta = 0; \quad y_1(0) = 0 \quad (7.a), \quad y_1''(0) = 0 \quad (7.b)$$

$$\eta = 1; \quad y_1(1) + y_2(1) + y_3(1) = 0 \quad (7.c), \quad y_1'(1) + y_2'(1) + y_3'(1) = 0 \quad (7.d)$$

$$\eta = \xi_1; \quad y_2(\xi_1) = 0 \quad \text{右側の連続条件} \quad (7.e)$$

$$y_1''(\xi_1) = 0 \quad \left. \begin{array}{l} \text{曲線「ε」の連続条件} \\ \text{曲線「ε」の連続条件} \end{array} \right\} \quad (7.f)$$

$$y_2''(\xi_1) = 0 \quad \left. \begin{array}{l} \text{曲線「ε」の連続条件} \\ \text{曲線「ε」の連続条件} \end{array} \right\} \quad (7.g)$$

$$y_2'''(\xi_1) = 0 \quad \text{せん断力の連続条件} \quad (7.h)$$

$$\eta = \xi_2; \quad y_1(\xi_2) + y_2(\xi_2) = 0 \quad \left. \begin{array}{l} \text{右側の連続条件} \\ \text{右側の連続条件} \end{array} \right\} \quad (7.i)$$

$$y_3(\xi_2) = 0 \quad (7.j)$$

$$y_3'(\xi_2) = 0 \quad \text{右側の連続条件} \quad (7.k)$$

$$y_3'''(\xi_2) = 0 \quad \text{曲線「ε」の連続条件} \quad (7.l)$$

条件(7.a), (7.b)の下に方程式(6.a)の解を求めれば

$$y_1(\eta) = y_1(0) \cdot \eta + \frac{y_1'''(0)}{k^2} \left( \eta - \frac{1}{k} \sin k\eta \right) \quad (8.a)$$

方程式(6.b)の解は条件(7.e), (7.g), (7.h)を考慮して

$$y_2(\eta) = y_2'(\xi_1) \cdot (\eta - \xi_1) \quad (8.b)$$

また、(7.i), (7.k), (7.l)なる条件から、方程式(6.c)の解は次のとおりとなる。

$$y_3(\eta) = \frac{y_3'''(\xi_2)}{k^2} \left[ (\eta - \xi_2) - \frac{1}{k} \sin k(\eta - \xi_2) \right] \quad (8.c)$$

これから、トルバ-梁の座屈形状は、式(8.a), (8.b), (8.c)を式(14)に代入することにより、次のように得られる。

$$y(\eta) = y_1(0) \cdot \eta + \frac{y_1'''(0)}{k^2} \left( \eta - \frac{1}{k} \sin k\eta \right) + y_2'(\xi_1) (\eta - \xi_1) u(\eta - \xi_1) + \frac{y_3'''(\xi_2)}{k^2} \left[ (\eta - \xi_2) - \frac{1}{k} \sin k(\eta - \xi_2) \right] u(\eta - \xi_2) \quad (9)$$

$$\text{ただし} \quad y_1'''(0) = \frac{y_1'''(0)}{k^2} (k \cdot \sin k\eta) + \frac{y_2'''(\xi_1)}{k^2} [k \cdot \sin k(\eta - \xi_1)] u(\eta - \xi_1) \quad (10)$$

次に、残りの条件(7.c), (7.d), (7.f)および(7.i)から次の4条件式を得る。

$$y_1(0) + \frac{y_1'''(0)}{k^2} \left( 1 - \frac{1}{k} \sin k \right) + y_2'(\xi_1) (1 - \xi_1) + \frac{y_3'''(\xi_2)}{k^2} \left[ (1 - \xi_2) - \frac{1}{k} \sin k(1 - \xi_2) \right] = 0$$

$$\frac{y_1'''(0)}{k^2} (k \cdot \sin k) + \frac{y_2'''(\xi_1)}{k^2} [k \cdot \sin k(1 - \xi_1)] = 0$$

$$\frac{\partial^4 w}{k^2} \cdot (k \sin k y_1) = 0$$

$$y_1(0) \cdot y_2 + \frac{\partial^4 w}{k^2} (y_2 - \frac{1}{k} \sin k y_2) + y_2'(y_1) \cdot (y_2 - y_1) = 0$$

この4条件式より、ツルバー梁の座屈条件式として次の2式を得る。

$$\sin k y_1 = 0 \quad (11)$$

$$\sin k(1-y_2) = 0 \quad (12)$$

式(11)および式(12)の条件により、表わされる座屈定数は、ツルバー梁の非対称座屈定数および対称座屈定数と称されることとなる。

### 3. 非対称座屈計算

#### (1) 非対称座屈

座屈条件式(11)より、表わされる座屈定数は、ツルバー梁のツルバー入ピンAHに部分的な座屈が生じ、それ以外はピンBC、または入ピンHBにも変形が生じないという形式のものがある。この時の座屈定数の最小値  $P_{E,cr}$  は

$$P_{E,cr} = \left(\frac{\pi}{y_1}\right)^2 \frac{EI}{L^2}$$

また、座屈波形  $y(\eta)$  は

$$y(\eta) = \frac{\partial^4 w}{k^2} \left\{ (1+\alpha) \cdot \eta - \frac{1}{k} \sin k \eta + \beta (\eta - y_1) u(\eta - y_1) + \gamma [(y_2 - y_1) - \frac{1}{k} \sin k (y_2 - y_1)] u(\eta - y_2) \right\}$$

$$\alpha = \frac{(1-y_1) \cdot \sin k y_2}{y_1(1-y_2) \cdot k} - \frac{y_2 - y_1}{y_1} \frac{\sin k}{\sin k(1-y_2)} - 1$$

$$\beta = \frac{y_2}{y_1} \frac{\sin k}{\sin k(1-y_2)} - \frac{1}{y_1(1-y_2)} \frac{\sin k y_2}{k}$$

$$\gamma = -\frac{\sin k}{\sin k(1-y_2)}$$

#### (2) 対称座屈

座屈条件式(12)より、表わされる座屈定数は、ツルバー梁のツルバー入ピンBCに部分的な座屈が生じ、それ以外はピンHB、または入ピンHBおよびツルバー入ピンAHにも変形が生じない形式のものがある。

この時の座屈定数の最小値  $P_{E,cr}$  は

$$P_{E,cr} = \left(\frac{\pi}{1-y_2}\right)^2 \frac{EI}{L^2}$$

また、座屈波形  $y(\eta)$  は

$$y(\eta) = \frac{\partial^4 w}{k^2} \left\{ \delta \cdot \eta + \varepsilon \cdot (\eta - y_1) \cdot u(\eta - y_1) + [(y_2 - y_1) - \frac{1}{k} \sin k (y_2 - y_1)] \right\}$$

$$\delta = \frac{y_2 - y_1}{y_1}$$

$$\varepsilon = -\frac{y_2}{y_1}$$

#### (3) 非対称座屈と対称座屈の座屈定数の比較

与えられたツルバー梁の非対称座屈定数と対称座屈定数が、 $P_{E,cr}$  と  $P_{E,cr}$  との大小関係により、異なる。ピン位置の相対関係により決まる。この相対関係を図-2

に示す。また、図-3はヒンジ位置および中間支位置と座圧分布との関係を示すものである。図-4は形式Iおよび形式IIの座圧の波形を示す。

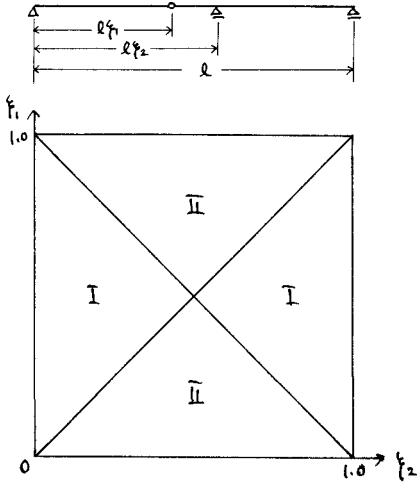


図-2

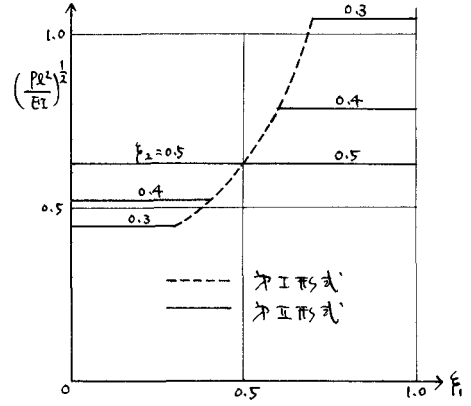


図-3

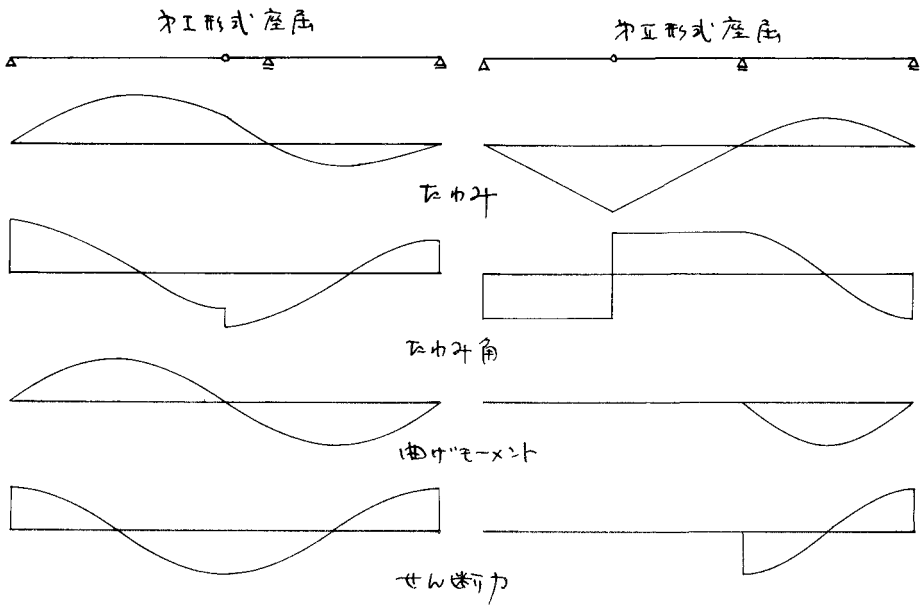


図-4